# Auto-organização temporal em uma variante da reação de Belousov-Zhabotinsky

Gustavo Tokoro (IC), Hamilton Varela\* (PQ)

Instituto de Química de São Carlos, USP, CP 780, CEP 13560-970, São Carlos-SP, Brasil. \*varela@igsc.usp.br

Palavras Chave: oscilações, auto-organização, estruturas dissipativas.

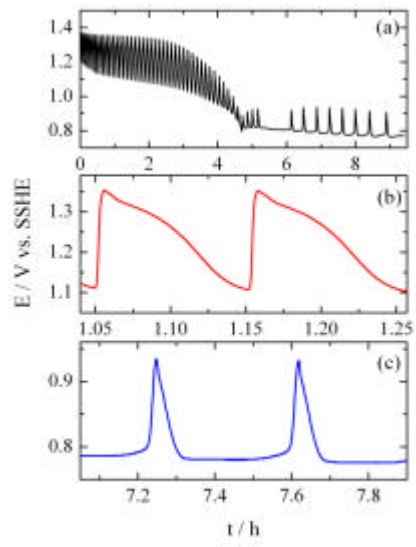
#### Introdução

A formação de estruturas espaço-temporais autoorganizadas em sistemas mantidos afastados do estado de equilíbrio termodinâmico tem se tornado uma área de crescente interesse nos últimos anos. Indubitavelmente, a celebrada reação de Belousov-Zhabotinsky (BZ) tem merecido lugar de destaque nesses estudos. No entanto, a formação de precipitados e gases no decorrer da reação e o tempo de duração do regime oscilatório quando operado em batelada limitam a utilização desse sistema em muitos casos. No intuito de evitar tais inconvenientes, estuda-se nesse trabalho uma reação alternativa à de BZ: o sistema BrO<sub>3</sub>-/H<sub>2</sub>PO<sub>2</sub>-/acetona/Mn(II)-ferroína<sup>1</sup>.

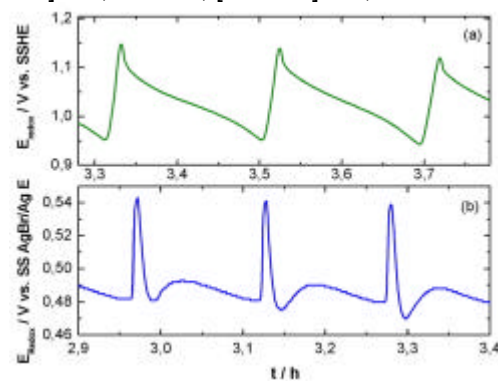
## Resultados e Discussão

Além da ausência da formação de bolhas e precipitados, o sistema 'BrO<sub>3</sub>-/H<sub>2</sub>PO<sub>2</sub>-/acetona/Mn(II)ferroína" possui a peculiaridade de oscilar por um tempo considerável na configuração de batelada. Uma série temporal típica das oscilações do potencial redox de um eletrodo de Pt medido versus um eletrodo de hidrogênio é mostrada na Figura 1. Inicialmente, oscilações estáveis foram observadas por cerca de 3 h. Após uma queda no valor médio do potencial e um breve período quiescente ou de oscilações indução, novas estáveis estabeleceram. Como ilustrado nas Figuras 1(b) e (c), além dos contrastes de amplitude e valor absoluto de potencial, as diferenças de formato e período das oscilações são bastante apreciáveis. As alternativas mais plausíveis como responsáveis pelo fenômeno observado são: (a) há bi-ritmicidade, i.e. a coexistência entre dois ciclos-limite numa mesma região de parâmetros, ou (b) o segundo regime oscilatório nasce a partir da morte do primeiro, ou seja, durante a exaustão do primeiro processo, são formadas espécies que tomam parte na dinâmica do processo seguinte.

Na Figura 2 são comparados os perfis do potencial redox medidos com eletrodos Pt (a) e de AgBr/Ag (b), ambos medidos *versus* SSHE.



**Figura 1.** Composição:  $[BrO_3^-] = 3.2x10^{-2}M$ ;  $[H_2PO_2^-] = 1.1x10^{-1}M$ ;  $[Mn^{2+}] = 3.1x10^{-3}M$ ;  $[H_2SO_4] = 1.33M$ ; [acetona] =  $3.6x10^{-1}M$ ; [ferroína] =  $2.0x10^{-4}M$ .



**Figura 2.** Comparação das oscilações medidas por diferentes eletrodos nas mesmas condições dadas na Figura 1.

#### Conclusões

Oscilações no potencial redox sustentadas por longo tempo foram observadas no sistema "BrO<sub>3</sub>-/H<sub>2</sub>PO<sub>2</sub>-/acetona/Mn(II)-ferroína" operado em condições de batelada e sob agitação.

## **Agradecimentos**

FAPESP (HV: 04/04528-0 e 05/52788-4, GT: 05/03369-9).

<sup>&</sup>lt;sup>1</sup> Orban, M., Kurin-Csorgei, K., Zhabotinsky, A.M., Epstein, I.R. *Faraday Discussions* **2001**, *120*, 11.